

01;09
 ©1992 г.

ВЕКТОРНАЯ ЗАДАЧА О ДИФРАКЦИИ НА РЕШЕТКЕ В МНОГОСЛОЙНОМ АНИЗОТРОПНОМ МАГНИТОДИЭЛЕКТРИКЕ

А.И.Адонина, А.И.Слюсарев

Методом задачи Римана–Гильберта с использованием алгоритма обобщения на векторные поля получено решение для поставленной задачи в виде бесконечных систем линейных алгебраических уравнений второго рода. Численно исследовано влияние параметров структуры на аномалии в интегральных характеристиках рассеянных полей.

Исследование векторных краевых задач электродинамики в точной постановке позволяет наиболее полно выявить электродинамические свойства различных объектов при взаимодействии их с электромагнитными полями, что дает возможность рекомендовать выявленные свойства для приложений.

В работе рассматривается случай произвольного падения плоской монохроматической волны (зависимость от времени $\exp(-i\omega t)$) на решетку, состоящую из бесконечно тонких идеально проводящих металлических полос (период решетки l , ширина щелей d), расположенных в многослойном анизотропном магнитодиэлектрике (рис. 1). Диэлектрическая $\tilde{\xi}_{ts}$ и $\tilde{\mu}_{ts}$ магнитная проницаемости каждого слоя описываются диагональными тензорами, соответствующими одноосным кристаллам

$$\tilde{\xi}_{ts} = \begin{pmatrix} \xi_{ts} & 0 & 0 \\ 0 & \xi_{ts} & 0 \\ 0 & 0 & \xi_{ts,z} \end{pmatrix}; \quad \xi = \left\{ \begin{array}{c} \varepsilon \\ \mu \end{array} \right\}; \quad t = \left\{ \begin{array}{c} p \\ j \end{array} \right\}. \quad (1)$$

Здесь и в дальнейшем индекс $t = p$ соответствует параметрам и обозначениям над решеткой, $t = j$ — под решеткой. Для определенности будем полагать, что над решеткой расположено p слоев, толщина каждого слоя $a_{ps} - a_{p,s-1}$ ($s = 1, \dots, p$), под решеткой j слоев, их толщина $a_{js} - a_{j,s-1}$ ($s = 1, \dots, j$).

Полупространства над структурой ($s = p + 1$) и под структурой ($s = j + 1$) заполнены изотропными магнитодиэлектриками с параметрами ε_p , μ_p и ε_j , μ_j соответственно.

Векторы \mathbf{E} , \mathbf{H} , \mathbf{k} падающего поля относительно координат, связанных с решеткой, закрепим посредством углов Эйлера: α — угол нутации, Ψ — угол прецессии, φ — угол чистого вращения [1].

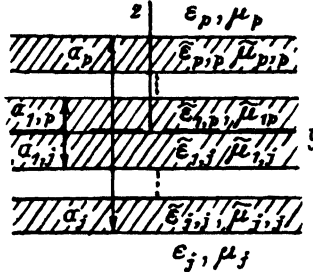


Рис. 1. Решетка в многослойном анизотропном магнитодиэлектрике.

В гиротропной среде волновые уравнения записываются относительными компонентами поля, направленных вдоль оси анизотропии. Их решения представим в виде разложений в ряды Фурье

$$A_{ts}^{\xi} = \sum_{(n)} \left[a_{ns}^{\xi} e^{i\gamma_{ts}^{\xi} z} + b_{ns}^{\xi} e^{-i\gamma_{ts}^{\xi} z} \right] \mathcal{E}_n, \quad (2)$$

где

$$\gamma_{ts}^{\xi} = \sqrt{k^2 \varepsilon_{ts} \mu_{ts} - (\beta^2 + h_n^2) \xi_{ts,z}};$$

$$h_n = h_0 + 2\pi n/l; \quad h_0 = k_p \sin \alpha \cdot \cos \Psi; \quad k_p = k \sqrt{\varepsilon_p \mu_p};$$

$$\beta = k_p \sin \alpha \cdot \sin \Psi; \quad \mathcal{E}_n = \exp[i(h_n y + \beta x)].$$

Для областей над структурой и под структурой в изотропных средах поля запишем с учетом условий на бесконечности

$$A_{m+1}^{\xi} = d_0^{\xi} e^{-i\gamma_{t0}^{\xi} z} \mathcal{E}_0 + \sum_{(n)} a_n^{\xi} e^{i\gamma_{np}^{\xi} z} \mathcal{E}_n;$$

$$A_{j+1}^{\xi} = \sum_{(n)} b_n^{\xi} e^{-i\gamma_{nj}^{\xi} z} \mathcal{E}_n, \quad (3)$$

где

$$\gamma_{nt} = \sqrt{k^2 \varepsilon_t \mu_t - h_n^2 - \beta^2};$$

$$d_0^{\xi} = \sin \alpha \cdot \sin \Psi; \quad d_0^{\mu} = \sin \alpha \cdot \cos \varphi.$$

При $\xi = \varepsilon$ выражения (2), (3) описывают компоненту E_z , при $\xi = \mu - H_z$ — компоненту поля в соответствующем слое либо полупространстве. Остальные составляющие векторов \mathbf{E} и \mathbf{H} определяются через E_z и H_z из уравнений Максвелла. Отметим, что внутри диэлектрических слоев каждая спектральная гармоника представляет сумму двух (в общем случае) необыкновенных волн, имеющих различные постоянные распространения вдоль оси Oz ($\gamma_{ts}^{\xi}, \gamma_{ts}^{\mu}$), в полупространствах — обыкновенные плоские (поверхностные) волны.

Подчиним поля граничным условиям на границах слоев и решетки. На границах анизотропных слоев запишем граничные условия для спектральных составляющих нормальных компонент как следствие непрерывности тангенциальных компонент электрического и магнитного полей

$$\varepsilon_{zs} E_{zs} = \varepsilon_{z,s+1} E_{z,s+1}; \quad \mu_{zs} H_{zs} = \mu_{z,s+1} H_{z,s+1};$$

$$\frac{\varepsilon_{zs}}{\varepsilon_s} \frac{\partial E_{zs}}{\partial z} = \frac{\varepsilon_{z,s+1}}{\varepsilon_{s+1}} \frac{\partial E_{z,s+1}}{\partial z}; \quad \frac{\mu_{zs}}{\mu_s} \frac{\partial H_{zs}}{\partial z} = \frac{\mu_{z,s+1}}{\mu_{s+1}} \frac{\partial H_{z,s+1}}{\partial z}. \quad (4)$$

На решетке выполним дискретные граничные условия — непрерывность тангенциальных компонент электрического и магнитного полей на щели (щель) и равенство нулю тангенциальных компонент электрического поля на металле (металл). В результате получим систему связанных (относительно амплитуд продольных компонент) функциональных уравнений

$$\begin{aligned} \sum_n [B_n + C_n q_{n1}^\epsilon] F_n &= D_1^\mu F_0 \quad (\text{металл}), \\ \sum_n [B_n \gamma_{p1}^\mu \sigma_{n\mu} + C_n q_{nz}^\mu \sigma_{n\epsilon}] F_n &= D_2^\mu F_0 \quad (\text{щель}), \\ \sum_n [C_n \sigma_{n\epsilon} - B_n \sigma_{n\mu} q_{n1}^\mu] F_n &= D_1^\epsilon F_0 \quad (\text{щель}), \\ \sum_n [C_n \gamma_{p1}^\epsilon - B_n q_{n2}^\mu] F_n &= D_2^\epsilon F_0 \quad (\text{металл}), \end{aligned} \quad (5)$$

где

$$\begin{aligned} B_n &= \bar{B}_n r_n; \quad C_n = \bar{C}_n r_n; \quad \bar{B}_n = b_n^\mu \mu_j P_j^\mu R_{\mu j}^+; \quad \bar{C}_n = a_n^\epsilon \epsilon_p P_p^\epsilon R_{\epsilon p}^-; \\ D_1^\mu &= -D_\epsilon q_{01}^\epsilon; \quad D_2^\mu = -D_\epsilon \sigma_\epsilon^0 q_{02}^\mu - D_\mu \sigma_\mu^0 \gamma_{p1}^\mu; \quad D_2^\epsilon = -D_\epsilon \gamma_{p1}^\epsilon; \\ D_1^\epsilon &= -D_\epsilon \sigma_\epsilon^0 + D_\mu \sigma_\mu^0 q_{01}^\mu; \quad D_\xi = \bar{D}_\xi r_0; \quad \bar{D}_\epsilon = A_\epsilon Y_{\epsilon p}^-; \quad \bar{D}_\mu = A_\mu Y_{\mu p}^+; \\ A_\xi &= d_0^\xi \xi_p P_p^\xi e^{2i\gamma_{0p} a_p}; \quad q_{n1}^\xi = \gamma_{p1}^\xi \beta / (kh_n \xi_{p1}); \quad q_{n2}^\xi = \xi_{p1} k \beta / h_n; \\ R_{\xi t}^\pm &= \beta_{\xi t}^\pm \pm \eta_{\xi t}^\pm \mathcal{E}_t^\xi; \quad Y_{\xi t}^\pm = \beta_{\xi t}^\pm \pm \eta_{\xi t}^\pm \mathcal{E}_t^\xi; \quad \mathcal{E}_t^\xi = e^{2ia_{t1}\gamma_{t1}^\xi}; \\ \sigma_{n\epsilon} &= T_{\epsilon p}^+ + T_{\epsilon j}^+ \epsilon_{j1} \gamma_{p1}^\epsilon / (\epsilon_{p1} \gamma_{j1}^\epsilon); \quad T_{\xi t}^\pm = R_{\xi t}^\pm / R_{\xi t}^\mp; \\ \sigma_{n\mu} &= T_{\mu p}^- + T_{\mu j}^- \mu_{p1} \gamma_{j1}^\mu / (\mu_{j1} \gamma_{p1}^\mu); \quad F_n = \exp(ih_n y); \\ \sigma_\epsilon^0 &= [L_{\epsilon p}^+ + T_{\epsilon j}^+ \epsilon_{j1} \gamma_{p1}^\epsilon / (\epsilon_{p1} \gamma_{j1}^\epsilon)] \delta_n^0; \quad L_{\xi t}^\pm = Y_{\xi t}^\pm / Y_{\xi t}^\mp; \\ \sigma_\mu^0 &= [L_{\mu p}^- - T_{\mu p}^-] \delta_n^0; \quad P_t^\xi = \left(\frac{1}{2}\right)^t e^{i\gamma_{n1} a_1} / \mathcal{E}_t^\xi \cdot \prod_{s=2}^t 1 / \mathcal{E}_{ts}^\xi; \\ r_n &= kh_n / (\beta^2 + h_n^2), \end{aligned} \quad (6)$$

δ_m^n — символ Кронекера.

В выражения (6) входят рекуррентные соотношения $\beta_{\xi s}^\pm$, $\eta_{\xi s}^\pm$, позволяющие определять коэффициенты, входящие в функциональные уравнения (5) для любого числа слоев

$$\begin{aligned} \beta_{\xi s}^\pm &= \beta_{\xi, s-1}^+ \alpha_{\xi s}^\pm + \beta_{\xi, s-1}^- \alpha_{\xi s}^\mp \mathcal{E}_{ts}^\xi; \\ \eta_{\xi s}^\pm &= \eta_{\xi, s-1}^+ \alpha_{\xi s}^\pm + \eta_{\xi, s-1}^- \alpha_{\xi s}^\mp; \quad s = 2, \dots, t; \end{aligned}$$

$$\eta_{\xi_1}^{\pm} = \beta_{\xi_1}^{\pm} = \alpha_{\xi_1}^{\pm}; \quad \mathcal{E}_{ts}^{\xi} = \exp \left[2i\gamma_{ts}^{\xi}(a_{ts} - a_{t,s-1}) \right];$$

$$\alpha_{\xi_s}^{\pm} = 1 \pm \gamma_{t,s+1}^{\xi} \xi_s / \left(\gamma_{ts}^{\xi} \xi_{s+1} \right); \quad s = 1, \dots, t. \quad (7)$$

К функциональным уравнениям (5) применим алгоритм сведения их к двум связанным задачам Римана–Гильберта [2]. Идея алгоритма состоит в следующем. Вводим неизвестные на базе продифференцированных первого и третьего уравнений системы (5)

$$x_n = (B_n + C_n q_{n1}^{\varepsilon}) \hbar_n; \quad \hbar_n = h_n l / 2\pi;$$

$$y_n = (C_n \sigma_{ne} - B_n \sigma_{n\mu} q_{n1}^{\mu}) \hbar_n. \quad (8)$$

Выражаем B_n и C_n из (8) через x_n и y_n и подставляем их во второе и четвертое уравнения системы (5). Затем комбинируем отдельно уравнения “металл” и “щель” системы (5) с целью образования параметров малости v_n^{ξ}, ζ_n^{ξ} при каждом неизвестном [2]. В результате получаем функциональные уравнения, которые стандартным образом сводятся к двум связанным неоднородным задачам Римана–Гильберта [2], на базе решения которых [3,4] получаем две бесконечные системы неоднородных линейных алгебраических уравнений, которые объединяются в одну замкнутую систему со сходящимися матричными элементами

$$\sum_{(n)} \left\{ x_n \left[\zeta_n^{\mu} \tilde{W}_m^n(u) - \delta_m^n \right] + i y_n v_n^{\mu} \tilde{W}_m^n(u) \right\} = G_m^{\mu};$$

$$\sum_{(n)} \left\{ y_n \left[\zeta_n^{\varepsilon} \tilde{W}_m^n(-u) - \delta_m^n \right] + i x_n v_n^{\varepsilon} \tilde{W}_m^n(-u) \right\} = G_m^{\varepsilon}; \quad (9)$$

где

$$\zeta_n^{\xi} = 1 + i|n|\gamma_{p1}^{\xi} \Psi_{1n}^{\xi} / (nh_n \Psi_1^{\xi}); \quad v_n^{\xi} = (\Psi_{2n}^{\xi} - \Psi_2^{\xi}) / \Psi_1^{\xi};$$

$$\Psi_{1n}^{\varepsilon} = (1 + \beta^2/h_n^2) / \Delta_n; \quad \Psi_{1n}^{\mu} = \Psi_{1n}^{\varepsilon} \sigma_{ne} \sigma_{n\mu};$$

$$\Psi_{2n}^{\mu} = [\sigma_{ne} - \sigma_{n\mu} \gamma_{p1}^{\varepsilon} \gamma_{p1}^{\mu} / (k^2 \varepsilon_{p1} \mu_{p1})] q_{n2}^{\mu} / (\Delta_n h_n);$$

$$\Psi_{2n}^{\varepsilon} = -\Psi_{2n}^{\mu} \varepsilon_{p1} / \mu_{p1}; \quad \Delta_n = \sigma_{ne} + \sigma_{n\mu} q_{n1}^{\varepsilon} q_{n1}^{\mu};$$

$$\Psi_1^{\varepsilon} = \sqrt{\varepsilon_{p1}/\varepsilon_{p1,z}} / \Delta^0; \quad \Psi_1^{\mu} = q_{\varepsilon} q_{\mu} \sqrt{\mu_{p1} \mu_{p1,z}} / \Delta^0;$$

$$\Psi_2^{\mu} = \sqrt{\mu_{p1}/(\mu_{p1,z} \varepsilon_{p1,z} \varepsilon_{p1})} \cdot \beta q_{\mu} / (k \Delta^0);$$

$$\Psi_2^{\varepsilon} = -\Psi_2^{\mu} \varepsilon_{p1} / \mu_{p1}; \quad \Delta^0 = q_{\varepsilon} - q_{\mu} (\beta/k)^2 / \sqrt{\varepsilon_{p1} \varepsilon_{p1,z} \mu_{p1} \mu_{p1,z}};$$

$$q_{\varepsilon} = 1 + \sqrt{\varepsilon_{j1} \varepsilon_{j1,z} / \varepsilon_{p1} \varepsilon_{p1,z}}; \quad q_{\mu} = 1 + \sqrt{\mu_{p1} \mu_{p1,z} / \mu_{j1} \mu_{j1,z}};$$

$$G_m^{\xi} = (iL^{\xi} + D_1^{\xi} \hbar_0) \tilde{W}_m^0 - D_1^{\xi} \hbar_0 \delta_m^0;$$

$$L^{\varepsilon,\mu} = (D_2^{\varepsilon,\mu} \cdot l / 2\pi - D_1^{\mu,\varepsilon} \hbar_0 \Psi_2^{\varepsilon,\mu}) / \Psi_1^{\varepsilon,\mu};$$

$$\tilde{W}_m^n = V_m^n - R_m \tilde{V}_\sigma^n / \tilde{R}_\sigma, \quad (10)$$

W_m^n — базовые коэффициенты, одинаковые для класса задач, идентичных по решению краевой задаче Римана–Гильберта для случая наклонного падения волны на решетку [4]. Коэффициенты V_m^n определены в работе [3], они выражаются через полиномы Лежандра, \tilde{V}_σ^n , \tilde{R}_σ представлены в [4] через функции Лежандра. Аргумент полиномов и функций Лежандра $u = \cos \pi d/l$.

Матричные коэффициенты обладают свойствами $\zeta_n^\xi, v_n^\xi \xrightarrow[n \rightarrow \infty]{} 0 (\varkappa/n)^2$, $\varkappa = l/\lambda$.

Системы уравнений (9) являются связанными относительно амплитуд E_z и H_z компонент поля. “Связанность” наблюдается и для решеток с изотропными магнитодиэлектриками [5] и для решеток, расположенных в свободном пространстве при произвольном падении возбуждающего поля. Из “связанности” систем уравнений (9) следует, что если структуру возбудить полем определенной поляризации, выделяемой относительно нормальной компоненты электрического или магнитного поля ($E_z = 0, H_z \neq 0$ — E -поляризация; $E_z \neq 0, H_z = 0$ — H -поляризация), то в рассеянном поле будут присутствовать компоненты основной волны и пространственных гармоник противоположной поляризации, т.е. поле деполяризуется и в общем случае является эллиптически поляризованным [5].

Деполяризация отсутствует при наклонном падении волны ($\Psi = 0$). Для этого случая ($\beta = 0$) система уравнений (9) разделяется на две независимые, одна из которых определяет амплитуды H_z -компоненты (11), а другая — E_z (12), таким образом, поляризация падающего поля сохраняется в рассеянном

$$\sum_{(n)} x_n \left[\zeta_n^\mu \tilde{W}_m^n(u) - \delta_m^n \right] = D_\mu G_m^E \tilde{W}_m^0(u); \quad (11)$$

$$\sum_{(n)} y_n \left[\zeta_n^\xi \tilde{W}_m^n(-u) - \delta_m^n \right] = D_\xi G_m^H, \quad (12)$$

где

$$\begin{aligned} x_n &= B_n \hbar_n; & y_n &= C_n \sigma_{n\xi} \hbar_n; \\ G_m^E &= -i \bar{\gamma}_{p1}^\mu \sigma_\mu^0 / \Psi_1^\mu; & \bar{\gamma}_{ts}^\xi &= \gamma_{ts}^\xi \cdot l / 2\pi; \\ G_m^H &= - (i \bar{\gamma}_{p1}^\xi / \Psi_1^\xi + \sigma_\xi^0) \tilde{W}_m^0(-u) - \hbar_0 \sigma_\xi^0 \delta_m^0. \end{aligned} \quad (13)$$

Коэффициенты, входящие в (11)–(13), получаем из аналогичных выше-приведенным (6), (7), (10), полагая в них $\beta = 0$. При $\alpha = 0$ (нормальное падение) или $\Psi = 90^\circ$ (скользящее падение) базовые коэффициенты \tilde{V}_σ^n , \tilde{R}_σ терпят разрыв [4], так как в них входят коэффициенты, пропорциональные $1/h_0$ ($h = 0$). Чтобы получить решения для нормального и скользящего падения волны на основании записанных выше путем предельных переходов, воспользуемся преобразованием базовых коэффициентов, полученных в работе [4].

Для нормального падения волны проведем предельный переход от систем, соответствующих наклонному падению (11), (12), предварительно

записав их через амплитуды E_x и H_x , которые выражаются через E_z и H_z из уравнения Максвелла следующим образом:

$$b_{nx}^\mu = b_n^\mu u_j r_n; \quad a_{nx}^\epsilon = a_n^\epsilon \epsilon_p r_n; \quad d_{0x}^\xi = d_0^\xi \xi_p r_0. \quad (14)$$

При проведении предельного перехода выделим нулевой член в суммах систем (11), (12) и, пользуясь преобразованием базовых элементов [4], с учетом симметрии поля относительно плоскости xOz , получим системы уравнений, каждая из которых определяет либо амплитуды E_x (15), либо H_x -компонент (16) поля для нормального падения волны

$$D_{\epsilon x} G_m^E W_m^0(u) = B_{0x} [i \bar{\gamma}_{p1}^\mu \sigma_{0\mu} W_m^0(u)/\Psi_1^\mu - R_{m\sigma}(u)] + \\ + \sum_{n>0} x_n [\zeta_n^\mu W_{mn}^+(u) - \delta_m^n], \quad (15)$$

$$D_{\mu x} [\sigma_\epsilon^0 R_{m\sigma}(-u) - i \gamma_{p1}^\epsilon W_m^0(-u)/\Psi_1^\epsilon] = C_{0x} [-\sigma_{0\epsilon} R_{m\sigma}(-u) + \\ + i \gamma_{p1}^\epsilon W_m^0(-u)/\Psi_1^\epsilon] + \sum_{n>0} y_n [\zeta_n^\epsilon W_{mn}^+(-u) - \delta_m^n], \quad (16)$$

где

$$x_n = B_{nx} n; \quad y_n = C_{nx} n; \quad B_{nx} = b_{nx}^\mu P_j^\mu R_{\mu j}^+; \\ C_{nx} = a_{nx}^\epsilon P_m^\epsilon R_{\epsilon m}^-; \quad D_{\epsilon x} = A_{\epsilon x} Y_{\epsilon p}^-; \quad D_{\mu x} = A_{\mu x} Y_{\mu p}^+; \\ A_{\xi x} = d_{0x}^\xi P_p^\xi e^{2\pi i \gamma_{0p} a_p}; \quad R_{m\sigma} = R_m / R_\sigma; \\ W_{mn}^\pm = W_m^n \pm W_m^{-n}; \quad W_m^n = V_m^n - R_{m\sigma} V_\sigma^n. \quad (17)$$

Коэффициенты, входящие в (15), (16), получаем из аналогичных выше-приведенным, полагая в них $\beta = h_0 = 0$.

Для случая скользящего падения волны предельный переход проведем от системы (9), так как $\beta \neq 0$. Выделяя нулевой член в системах (9) и преобразуя базовые коэффициенты [4], получим связанную бесконечную систему неоднородных линейных алгебраических уравнений, состоящую, как и для случая произвольного падения волны (9), из двух бесконечных систем, которые с учетом симметрии поля относительно плоскости xOz запишутся следующим образом:

$$F_m^* \bar{D}_\epsilon = \bar{C}_0 F_{0\beta} + \sum_{n>0} \left\{ C_n [v_n^E W_{mn}^+(u) - q_{n1}^\epsilon \delta_m^n] + \right. \\ \left. + B_n [\zeta_n^E W_{mn}^-(u) - \delta_m^n] \right\}, \quad (18)$$

$$M_m^* \bar{D}_\mu = \bar{B}_0 M_{0\beta} - \sum_{n>0} \left\{ B_n [v_n^H W_{mn}^+(-u) - \sigma_{n\mu} q_{n1}^\mu \delta_m^n] - \right. \\ \left. - C_n [\zeta_n^H W_m^n(-u) - \sigma_{n\epsilon} \delta_m^n] \right\}, \quad (19)$$

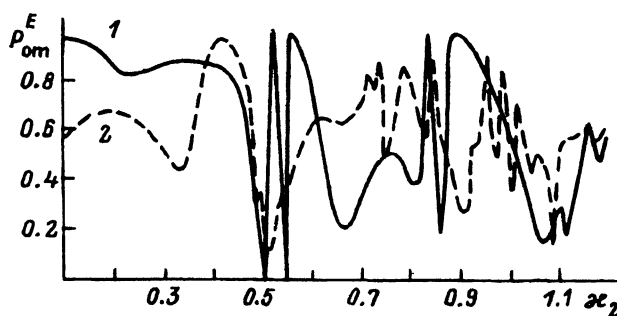


Рис. 2. Поток мощности отраженного поля при возбуждении решетки на слое диэлектрика E -поляризованной волной.

$\varphi = 0$; $\alpha = 5^\circ$; $\epsilon_{1j} = 6$; $\epsilon_{1j,z} = 10$; ψ , град: 1 — 0, 2 — 60.

где

$$F_m^* = f_{1\epsilon} R_{m\sigma}(u) - f_{2\epsilon} \sigma_\epsilon^0 W_m^0(u); \quad f_{1\xi} = \gamma_{p1}^\xi / (\beta \xi_{p1});$$

$$F_m = f_{1\epsilon} R_{m\sigma}(u) - f_{2\epsilon} \sigma_{\epsilon 0} W_m^0(u); \quad f_{2\xi} = i \kappa k \xi_{p1} / (\beta \Psi_1^\xi);$$

$$M_m^* = f_{1\mu} R_{m\sigma}(-u); \quad M_m = M_m^* \sigma_{0\mu} - f_{2\mu} W_m^0(-u). \quad (20)$$

Коэффициенты, входящие в (19), (20), получаем из аналогичных вышеприведенным, полагая в них $h_0 = 0$. Коэффициенты W_{mn}^+ (17) определяются через базовые элементы (V_σ^n , R_σ), одинаковые для класса задач, идентичных по решению краевой задаче о нормальном падении волны на решетку [3].

В отличие от систем для произвольного падения волны (9) в каждую систему (19) входят амплитуды падающего поля и основной волны рассеянного поля одной поляризации. Амплитуды высших гармоник ($n \neq 0$) для E_z - и H_z -компонент входят одновременно в обе бесконечные системы, объединенные в одну замкнутую (19). Таким образом, "связанность" бесконечных систем для скользящего падения осуществляется только по высшим гармоникам, что свидетельствует о более слабой деполяризации поля при возбуждении волной определенной поляризации.

При $\epsilon_z = \epsilon$; $\mu_z = \mu$ системы уравнений для всех случаев падения волны тождественно совпадают с аналогичными для изотропных магнитодиэлектриков [5].

Численные исследования интегральных характеристик рассеянного поля проводились для различных случаев падения волны по программам, составленным на алгоритмическом языке ФОРТРАН. Некоторые результаты для потока мощности основной волны ($P_z = \operatorname{Re}[EH^*]_z$), нормированного по падающему полю, и фазы приведены на рис. 2 — 6. Графики приведены для решетки с половинным заполнением $u = 0$, толщины слоев нормированы по периоду решетки. В подписях к рисункам указаны электрические параметры слоев, отличные от единицы.

Анализируя графики, отмечаем резкие скачки интегральных характеристик, названные аномалиями [5,6]. На местоположение аномалий влияют геометрические параметры структуры, электрические параметры среды, углы падения волны, поляризация падающего поля.

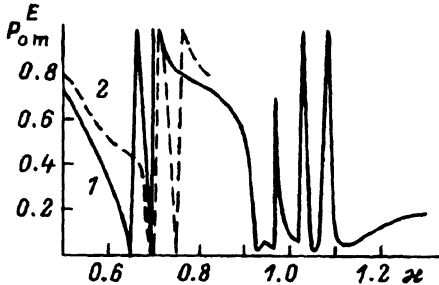


Рис. 3. То же, что на рис. 2, при возбуждении решетки на слое магнетика.
 $\varphi = 0$; $\alpha = 5^\circ$; $\psi = 0$; 1 — $\mu_{1j} = 4$; $\mu_{1j,z} = 6$;
2 — $\mu_{1j} = \mu_{1j,z} = 4$.

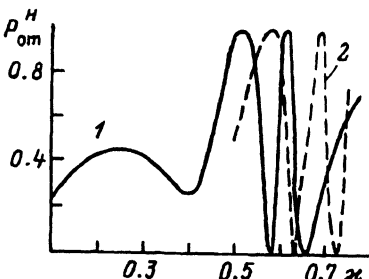
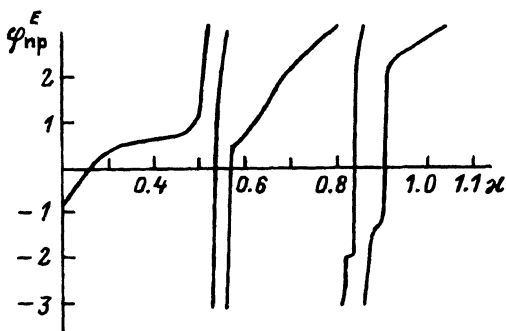


Рис. 4. То же, что на рис. 2 при возбуждении H -поляризованной волной.
 $\varphi = 90^\circ$; $\alpha = 10^\circ$; $\psi = 0$; $a_{1j} = 0.4$;
1 — $\epsilon_{1j} = 4$; $\epsilon_{1j,z} = 6$; 2 — $\epsilon_{1j} = \epsilon_{1j,z} = 4$.

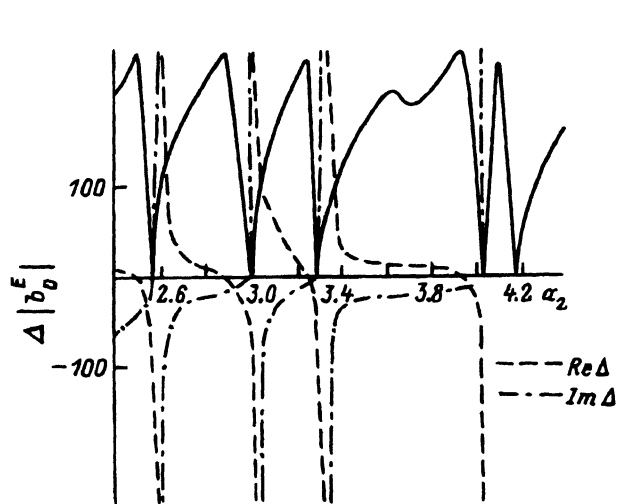


Рис. 6. Зависимость коэффициента прохождения и величины определителя от толщины слоя.
 $\varphi = 0$, $\alpha = 5^\circ$, $\psi = 0$, $\chi = 0.8$,
 $a_{1j} = 0.4$, $\epsilon_{1j} = 2.54$, $\epsilon_{2j} = 2.07$.

При наклонном падении волны определенной поляризации анизотропия магнетика не влияет на H -поляризованное поле (12), а диэлектрика — на E -поляризованное поле (11). График, приведенный на рис. 2 для наклонного падения E -поляризованной волны (сплошная линия), тождественно совпадает с аналогичным для изотропного диэлектрика. При

произвольном падении волны на структуру с анизотропными средами вследствие деполяризации поля и появления компоненты противоположной поляризации аномальные скачки слаживаются (рис. 2, штриховая кривая), так как области аномалий для обеих поляризаций не совпадают. Анизотропия диэлектриков и магнетиков смешает аномалии в частотном спектре (рис. 3,4, сплошные кривые) по сравнению с изотропными средами с такими же электрическими параметрами (рис. 3, 4, штриховые кривые). Фаза основной волны в области аномалий претерпевает скачок на 4π (рис. 5), таким образом, сдвиг фазы дважды принимает одинаковые значения, что объясняет наличие двойных аномалий (рис. 2). Численные исследования показали, что амплитудно-фазовые характеристики всех гармоник также испытывают резкие скачки в области аномалий основной волны.

На рис. 6 представлены значения действительной и мнимой частей определителя системы (11), рассчитанного для постоянных распространения, соответствующих основной волне (штриховые кривые), и модуль ее коэффициента прохождения (сплошная кривая) в зависимости от толщины диэлектрического слоя. Как следует из рис. 6, действительная и мнимая части определителя обращаются в нуль в экстремальных точках аномального скачка, что свидетельствует о существовании собственной волны, постоянные распространения которой совпадают приближенно с постоянными распространения основной волны, приближенно, потому что собственные значения для открытых структур, к которым принадлежит исследуемая, в общем случае комплексные числа, определяемые как нетривиальные решения определителя соответствующей системы. Объяснить природу аномалий можно резонансом собственной волны всей структуры с основной волной, совпадение постоянных распространения которых возможно в узком интервале изменяющегося параметра (частоты, толщины слоя и т.д.).

Аномальные явления на решетках с диэлектрическими слоями можно использовать при конструировании поляризационных фильтров, при проектировании антенн, использующих периодические структуры, а также для исследования двумерно неоднородных сред способом моделирования их многослойными анизотропными магнитодиэлектриками.

Список литературы

- [1] Ландau Л.Д., Лиfшиц Е.М. Механика. М.: Наука, 1988.
- [2] Адонина А.И. Деп. в ВИНТИ. № 3765-77. М., 1977. 19 с.
- [3] Агранович З.С., Марченко В.А., Шестopalов В.П. // ЖТФ. 1962. Т. 32. Вып. 4. С. 381-394.
- [4] Адонина А.И., Шестopalов В.П. // ЖТФ. 1963. Т. 33. Вып. 6. С. 641-651.
- [5] Адонина А.И., Слюсарев А.И. // РиЭ. 1991. Т. 36. № 2. С. 267-274.
- [6] Адонина А.И., Андрусенко А.И., Комолов В.И., Рена Ю.Т. // Радиотехника. 1972. № 20. С. 172-178.